

Modelagem Estocástica e Quantificação de Incertezas na Dinâmica Não Linear do Zika Vírus

Eber Dantas de Sá Paiva
Michel Antonio Tosin Caldas
Americo Barbosa da Cunha Junior

eber.paiva@uerj.br michel.tosin@uerj.br americo@ime.uerj.br

NUMERICO – Núcleo de Modelagem e Experimentação Computacional



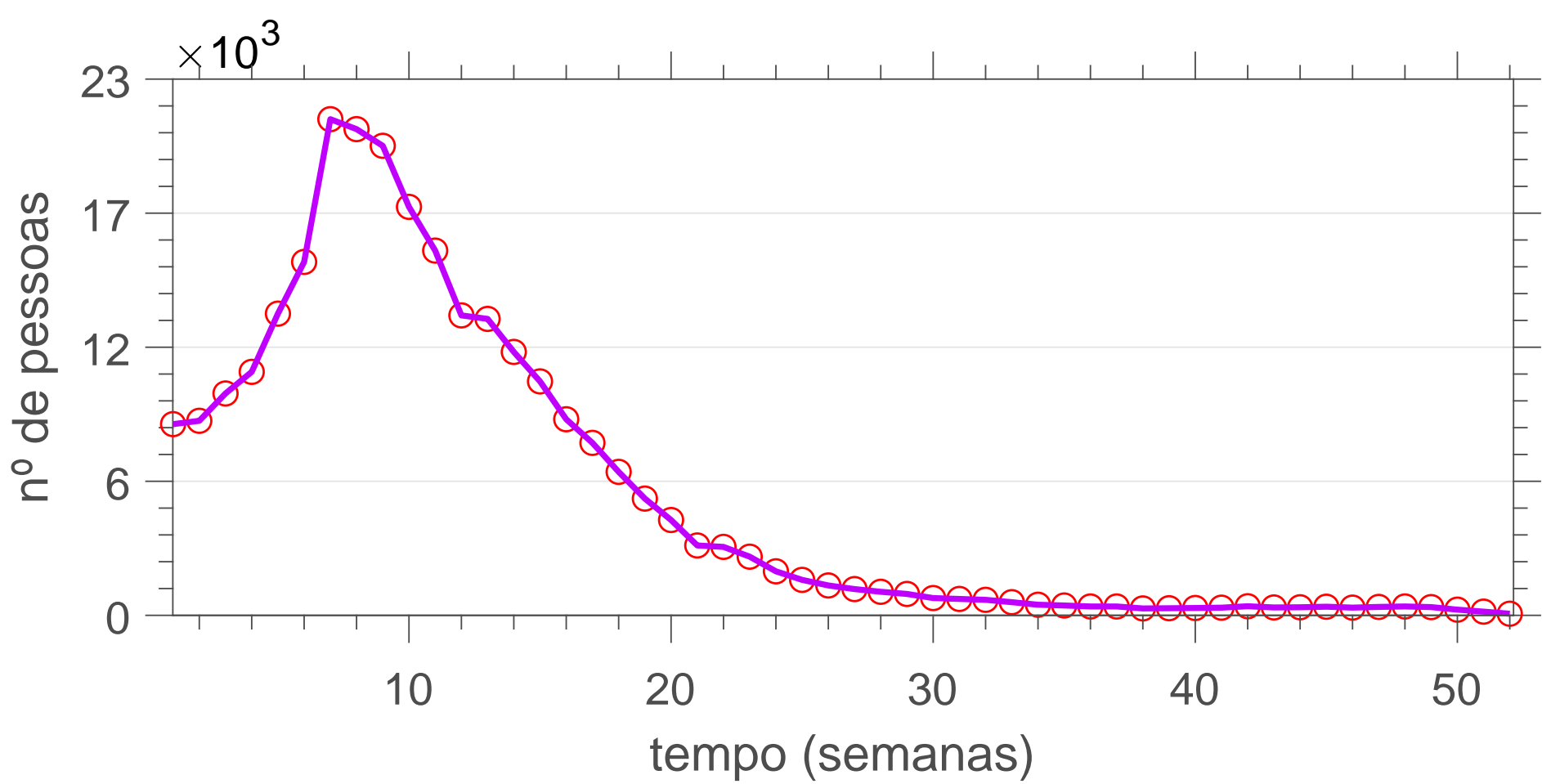
Introdução

Durante 2016 a OMS declarou situação de emergência em saúde pública de interesse internacional em resposta ao aumento do número de infecções pelo vírus Zika e sua confirmada relação com doenças congênitas. Isolado inicialmente em Uganda, 1947, o arbovírus é transmitido principalmente pelos mosquitos do gênero *Aedes* e teve seu primeiro caso autóctone no Brasil em 2015.



Aedes aegypti

- Mais de 30 países com transmissão autóctona nos últimos 20 anos.
- Mais de 140 mil casos confirmados no Brasil desde 2015.
- Associação com microcefalia e a síndrome de Guillain-Barré.
- Quase 3 mil casos confirmados de indivíduos com alterações no crescimento e desenvolvimento relacionados à infecção pelo vírus Zika.



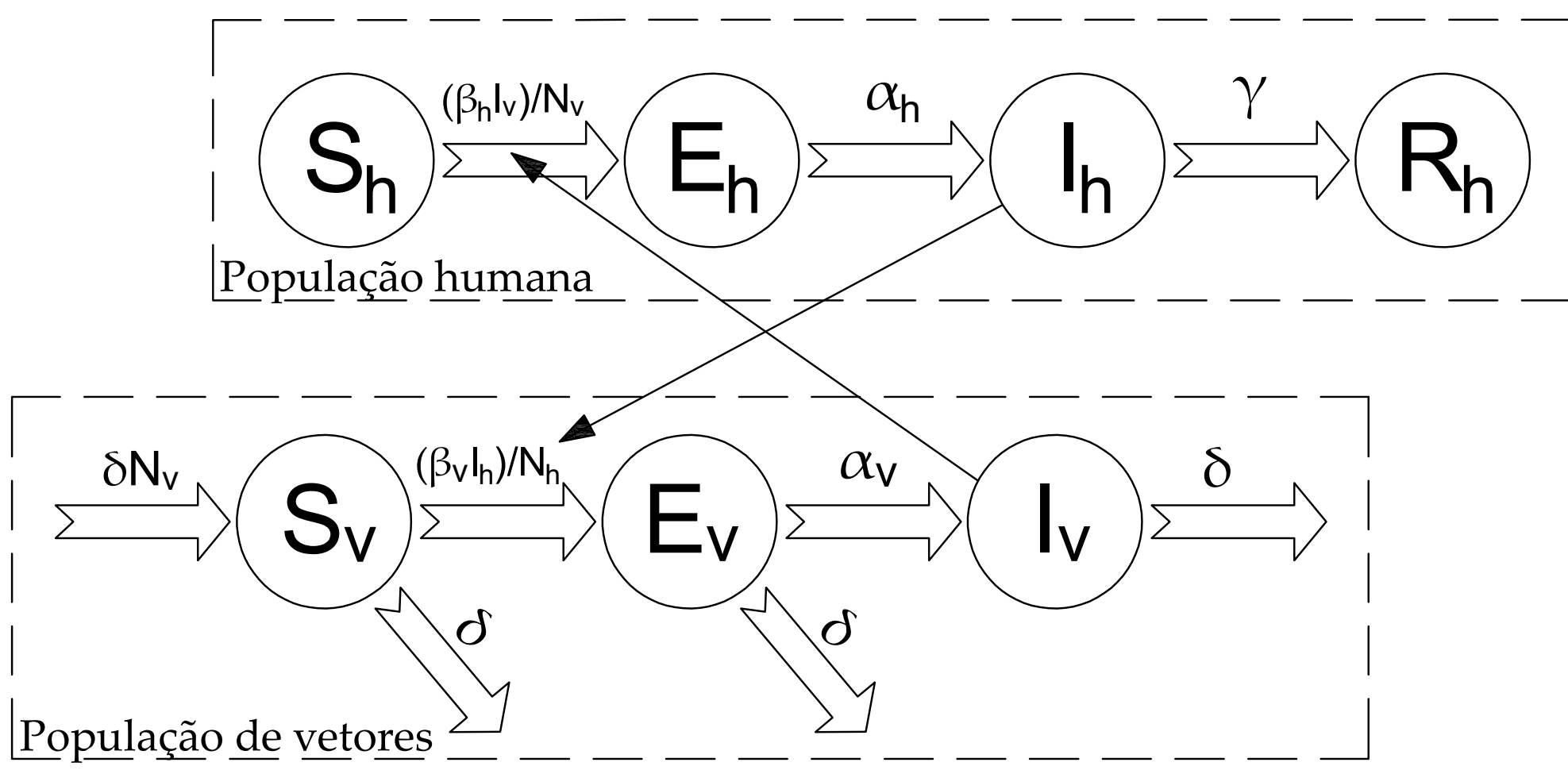
Novos casos de Zika no Brasil por semana epidemiológica de 2016

Objetivo

Desenvolver um modelo estocástico a partir da calibração prévia de um sistema SEIR-SEI e analisar a propagação das incertezas dos parâmetros na dinâmica, conferindo maior robustez estatística às previsões sobre a epidemia.

Modelagem Determinística

Modelo comportamental

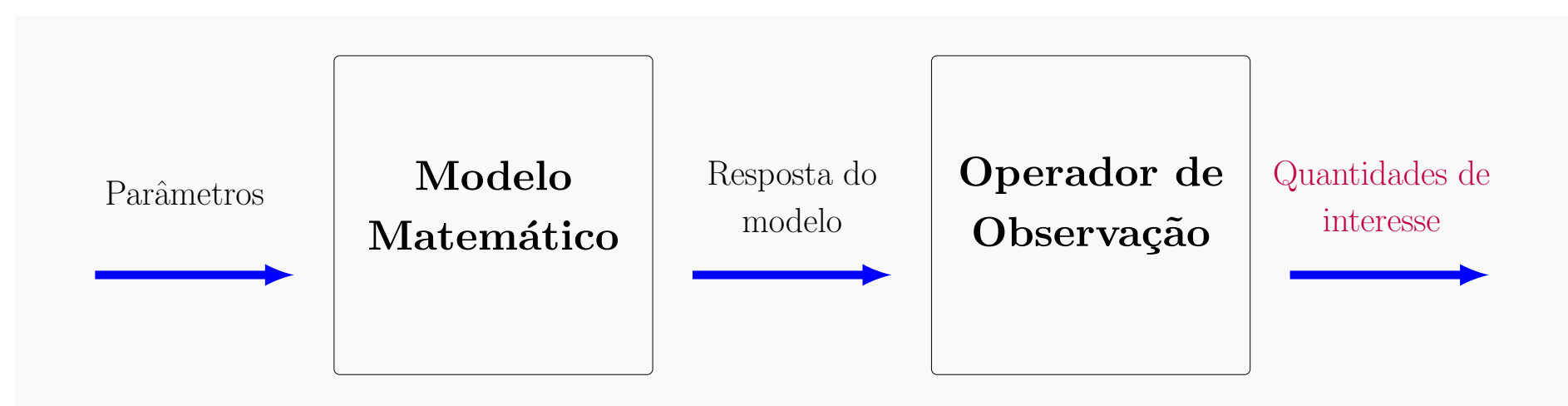


Sistema dinâmico

$$\begin{aligned} \frac{dS_h}{dt} &= -\beta_h S_h \frac{I_v}{N_v}, & \frac{dS_v}{dt} &= \delta N_v - \beta_v S_v \frac{I_h}{N_h} - \delta S_v, \\ \frac{dE_h}{dt} &= \beta_h S_h \frac{I_v}{N_v} - \alpha_h E_h, & \frac{dE_v}{dt} &= \beta_v S_v \frac{I_h}{N_h} - (\alpha_v + \delta) E_v, \\ \frac{dI_h}{dt} &= \alpha_h E_h - \gamma I_h, & \frac{dI_v}{dt} &= \alpha_v E_v - \delta I_v, \\ \frac{dR_h}{dt} &= \gamma I_h, & \frac{dC}{dt} &= \alpha_h E_h. \end{aligned}$$

+ Condições Iniciais (CI)

Quantidades de interesse (QoI)



- Número acumulado de infectiosos

$$C_t = \int_{\tau=0}^t \alpha_h E_h(\tau) d\tau$$

- Novos casos de infectiosos (por SE)

$$\mathcal{N}_w = C_w - C_{w-1}, \quad (w = 2, 3, \dots, 52), \quad \mathcal{N}_1 = C_1$$

Modelagem Estocástica

Princípio da entropia máxima

A distribuição **menos enviesada** do vetor aleatório \mathbf{X} é aquela que maximiza a entropia

$$\mathcal{E}(p_{\mathbf{X}}(\mathbf{X})) = - \int_{S_n} p_{\mathbf{X}}(\mathbf{x}) \ln p_{\mathbf{X}}(\mathbf{x}) d\mathbf{x},$$

respeitando as $\mu + 1$ restrições

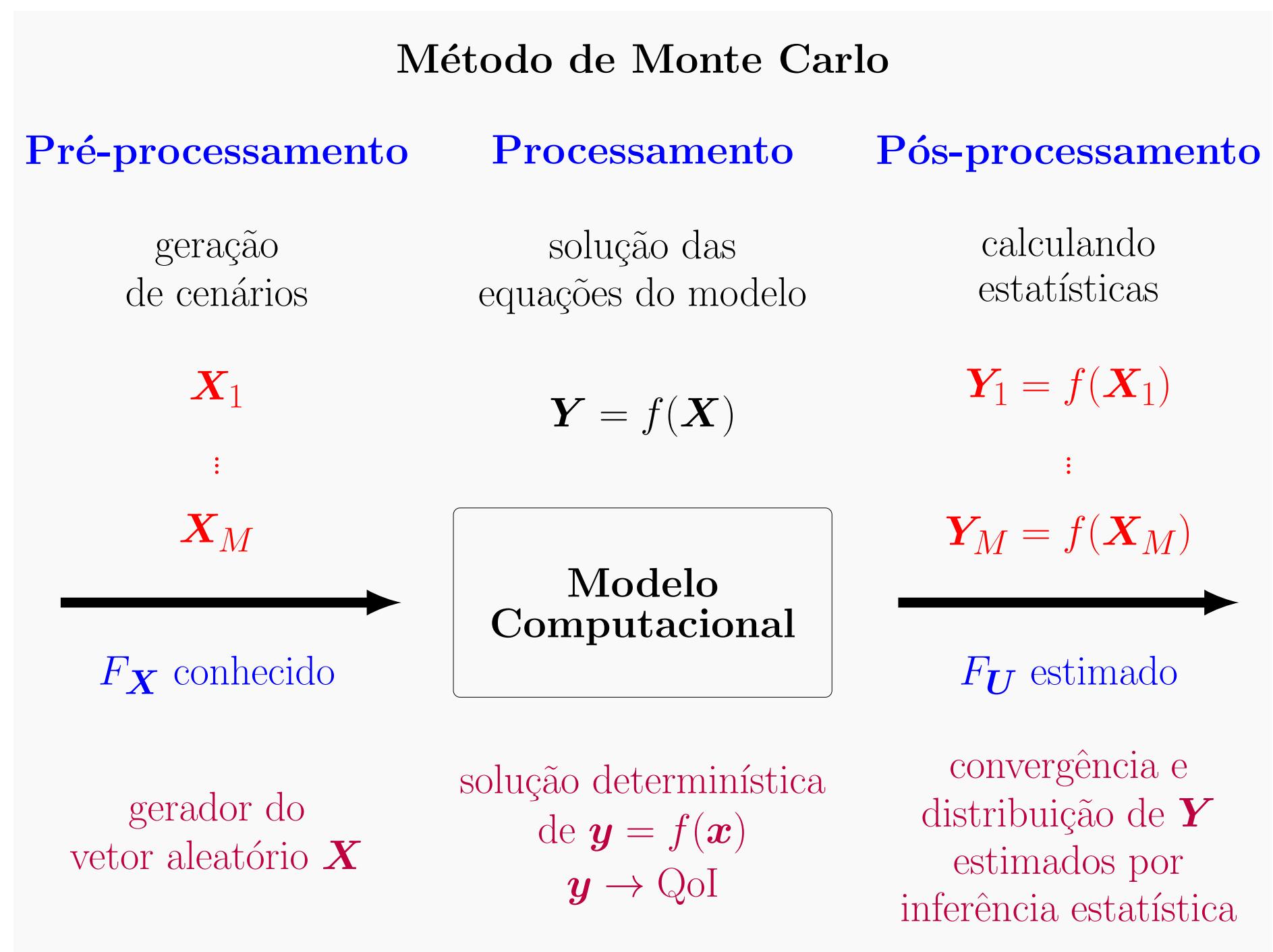
$$\int_{S_n} p_{\mathbf{X}}(\mathbf{x}) d\mathbf{x} = 1, \quad \int_{S_n} \mathbf{g}(\mathbf{x}) p_{\mathbf{X}}(\mathbf{x}) d\mathbf{x} = \mathbf{b},$$

onde $\mathbf{g}(\mathbf{x}) : \mathbb{R}^n \rightarrow \mathbb{R}^\mu$ e $\mathbf{b} \in \mathbb{R}^\mu$ compila as informações disponíveis.

Distribuição de MaxEnt com μ informações

$$p_{\mathbf{X}}(\mathbf{x}) = \mathbb{1}_{S_n}(\mathbf{x}) \exp(-\langle \boldsymbol{\lambda}, \mathbf{g}(\mathbf{x}) \rangle)$$

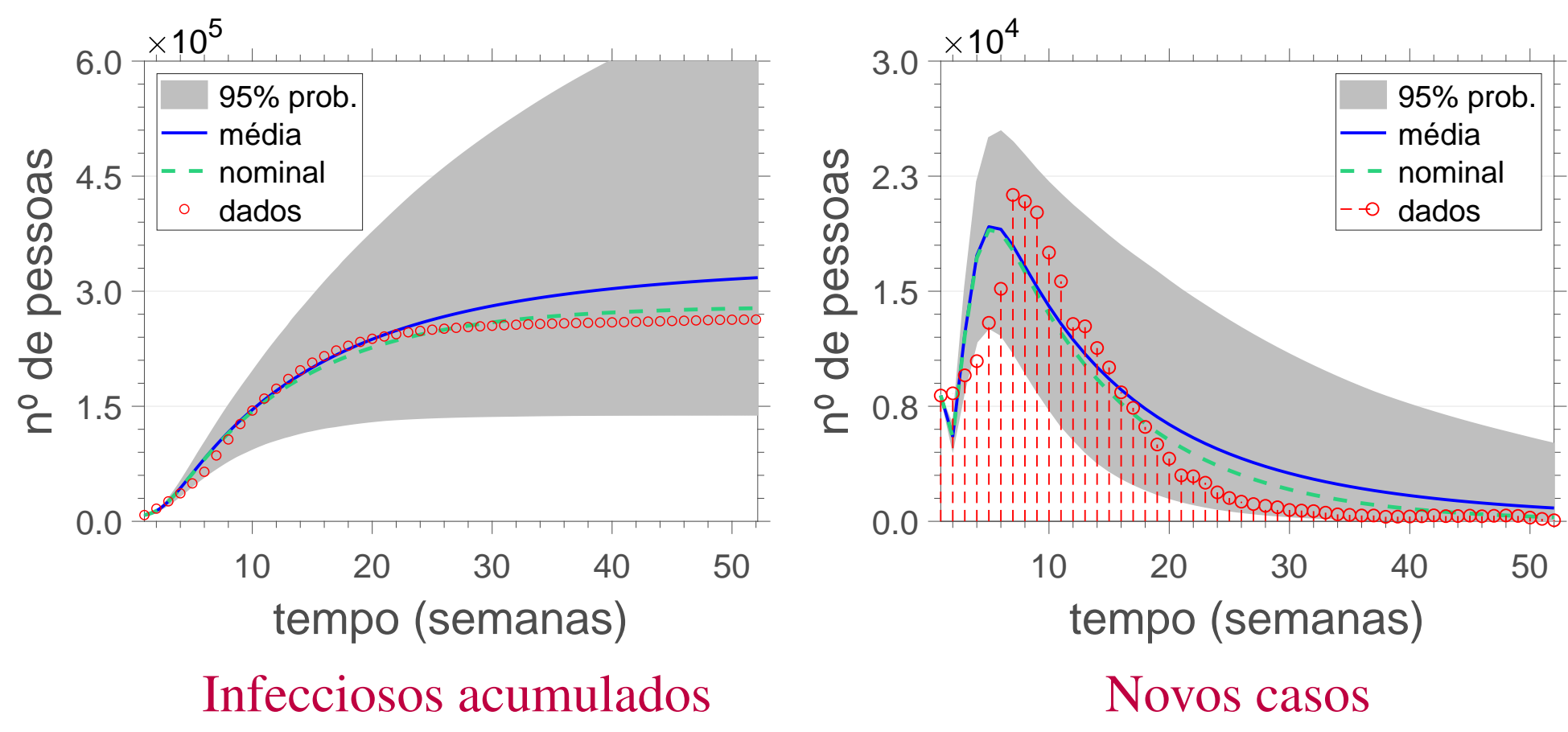
Propagação de incertezas



Resultados

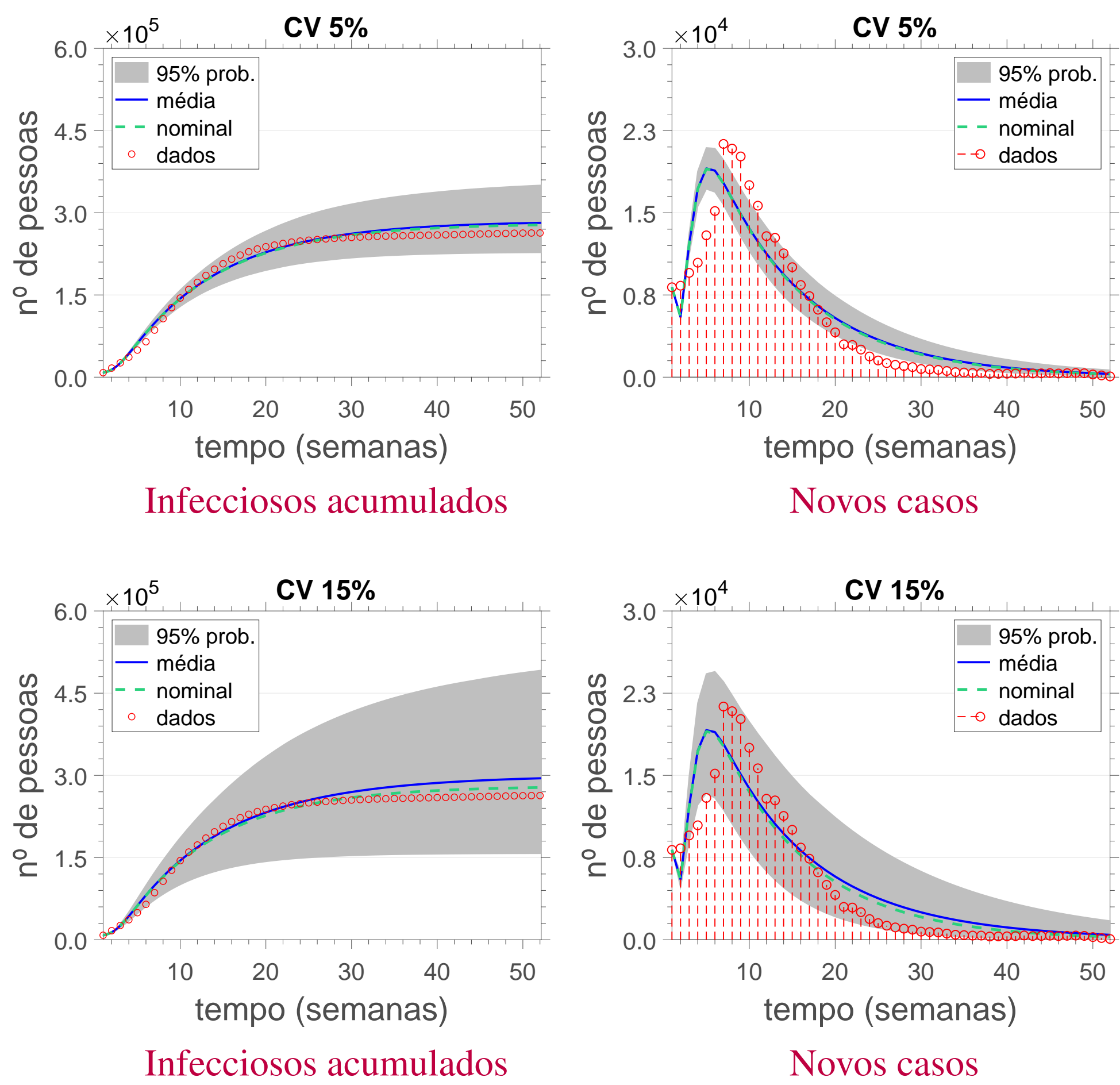
Primeiro modelo probabilístico

Variáveis aleatórias: $\beta_h, \beta_v \sim \text{MaxEnt}$. Informações: suporte, média.



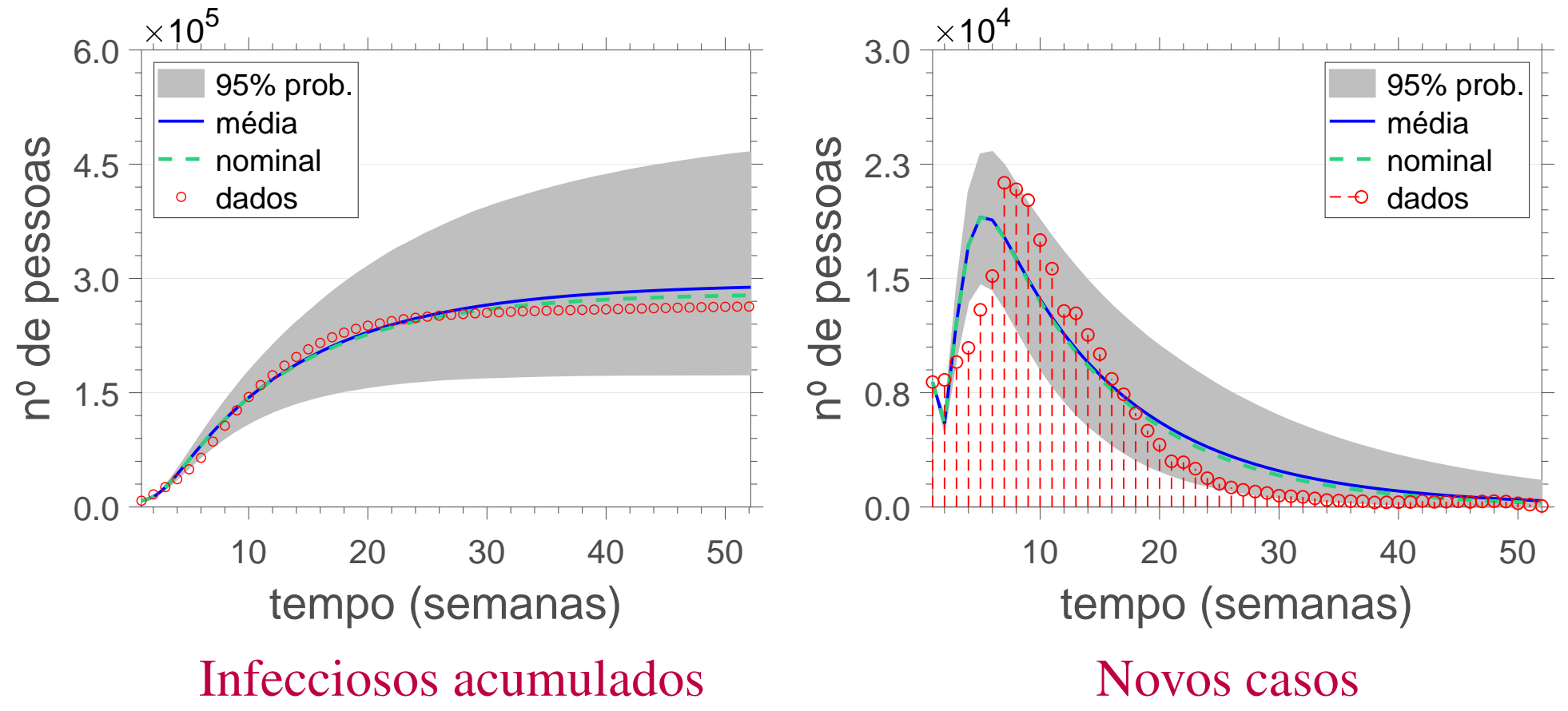
Segundo modelo probabilístico

Variáveis aleatórias: $\beta_h, \beta_v \sim \text{MaxEnt}$. Informações: suporte, média, dispersão.

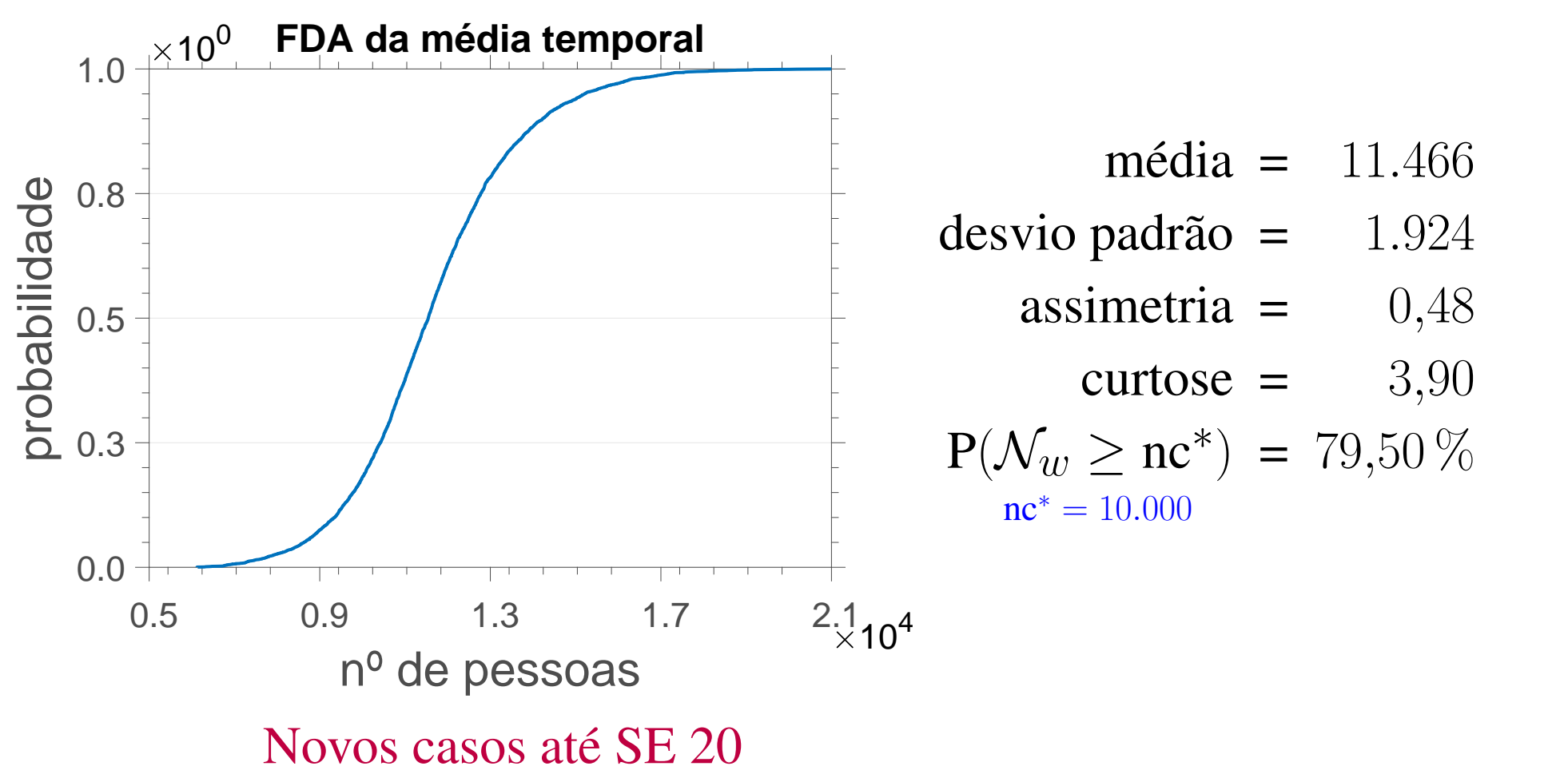
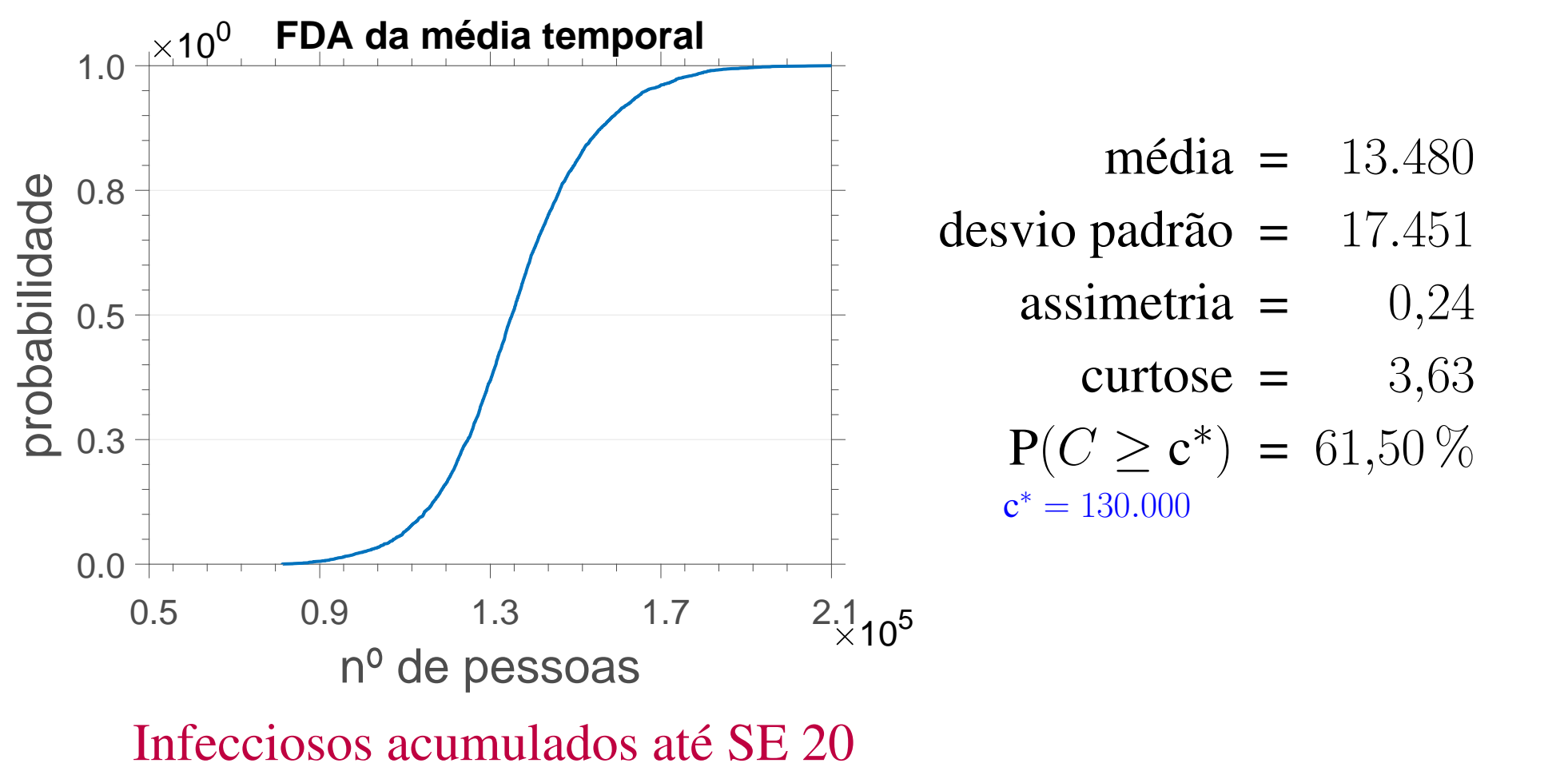
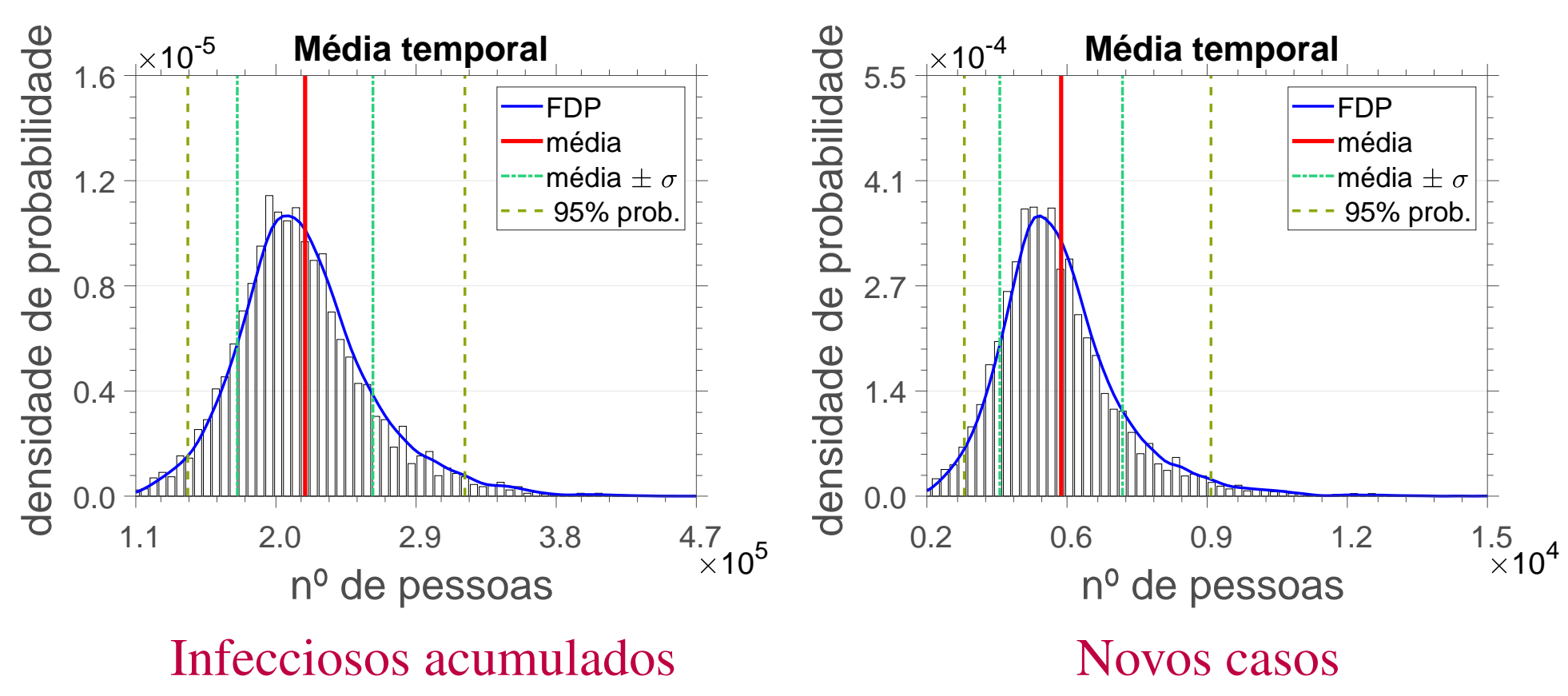


Terceiro modelo probabilístico

Variáveis aleatórias: $\beta_h, \beta_v, CV \sim \text{MaxEnt}$. Informações: suporte e média para β , e suporte para CV.



Previsões e estatísticas



Contribuições

Um modelo estocástico foi construído ao redor da calibração determinística de um modelo SEIR-SEI para estimar distribuições referentes à resposta do sistema, analisando a propagação das incertezas dos parâmetros. O resultado permite a obtenção de estatísticas referentes a diversos cenários, observação da evolução do processo estocástico e possibilita fazer previsões com maior robustez a respeito da quantidade de infectados durante a epidemia.

Agradecimentos



Referências

[1] E. Dantas, M. Tosin and A. Cunha Jr, Calibration of a SEIR-SEI epidemic model to describe Zika virus outbreak in Brazil. *Applied Mathematics and Computation*, 338: 249-259, 2018. <https://doi.org/10.1016/j.amc.2018.06.024>

[2] E. Dantas, M. Tosin and A. Cunha Jr. Uncertainty quantification in the nonlinear dynamics of Zika virus, 2018 (em revisão).

[3] A. Cunha Jr, E. Dantas and M. Tosin. Uncertainty quantification in the Brazilian outbreak of Zika virus. In *13th World Congress in Computational Mechanics (WCCM 2018)*, Nova York, 2018.

[4] D. L. Smith, K. E. Battle, S. I. Hay, C. M. Barker, et al. Ross, MacDonald, and a theory for the dynamics and control of mosquito-transmitted pathogens. *PLoS Pathog.*, 8(4), 2012. <http://dx.doi.org/10.1371/journal.ppat.1002588>

[5] C. Soize. *Uncertainty Quantification: an Accelerated Course with Advanced Applications in Computational Engineering*, Springer, 2017.